

Линия водослива (тальвег) — пространственная кривая на поверхности, все точки которой — точки водослива.

Линия водораздела — пространственная кривая на поверхности, все точки которой — точки водораздела.

Изложенная выше система признаков и дефиниций представляет один из возможных путей количественного определения характерных точек и характерных линий рельфа.

Список литературы: 1. *Видеге H., Голицук Ю. В.* Теория топографических поверхностей в инженерной геодезии. — Инженерная геодезия, 1977, вып. 20, с. 3—8. 2. *Водосливный Л. К.* Расчет оптимального параметра цифровой модели рельефа с регулярным расположением точек. — Геодезия, картография и аэрофотостемка, 1984, вып. 39, с. 9—17. 3. *Грибера М. А.* Геодезия. — Геоморфологической информации. — В кн.: Рельеф Земли и математика. М., 1967, с. 18—43. 5. *Деформации А. С.* Математический анализ в геоморфологии. — М.; Недра, 1967. — 155 с. 6. *Закотюк П. С.* Библиография г. В. Великий Ф. Н. Курс геодезии. — Ч. I. — М.; Л.: ОНТИ, 1931. — 660 с. 8. *Лимонов Л. Я.* Вопрос о структурно-аналитическом представлении рельефа. — Изв. вузов. Геодезия и аэрофотостемка, 1975, вып. 3, с. 43—52. 9. *Маслов А. В., Александров Н. Н.* К вопросу о формализации отображения строения рельефа при автоматизированном построении горизонталей. — Изв. вузов. Геодезия и аэрофотостемка, 1982, вып. 4, с. 107—113. 10. *Рудий Р. М.* Выделение структурных линий рельефа аналитическим методом. — Геодезия, картография и аэрофотостемка, 1984, вып. 39, с. 135—140.

Статья поступила в редакцию 07. 03. 84

УДК 52.044+528.74+627.42

Б. И. ВОЛОСЕЦКИЙ, Я. И. КАГАНОВ

ИСПОЛЬЗОВАНИЕ МОРФОМЕТРИЧЕСКИХ ЗАВИСИМОСТЕЙ, ОПРЕДЕЛЯЕМЫХ ИЗ ГЕОДЕЗИЧЕСКИХ НАБЛЮДЕНИЙ, ДЛЯ ПРОГНОЗА РУСЛОВЫХ ДЕФОРМАЦИЙ

Процессы переформирования русел горных рек, наиболее четко проявляющиеся в период паводка, вызывают значительные осложнения в работе гидроэлектростанций, нарушения функционирования дорожной сети, затопления населенных пунктов и сельскохозяйственных угодий, ухудшения условий лесосплава и т. п.

Достаточно эффективным и широко распространенным во многих странах техническим средством борьбы с наводнением является обвалование рек и строительство каскада попечных переграждающих сооружений. Защитно-выправительные сооружения можно проектировать лишь на основе прогноза русловых переформирований рек, вызванных искусственным изменением их гидравлического и гидрологического режимов. Формы и размеры возможных русловых деформаций определяют габариты сооружений и размещение их в плане.

Теоретические и экспериментальные исследования закономерностей руслового процесса, динамики его переформирования сложат основой прогноза характеристик транспортирующей способности потока и русловых деформаций, расчета устойчивых русло-вых форм, размещения и компоновки сооружений.

При расчете русловых деформаций, происходящих в период паводка, практическое значение имеет получение морфологических зависимостей непосредственно из анализа естественных форм русла и гидравлических параметров потока.

Факторами, определяющими русловой процесс естественных

потоков, являются: гидрологический режим водотока, который зависит от количества паводкового расхода; гидравлический режим, определяемый силой тяжести; степень шероховатости ложа русла, определяемая составом русловых отложений.

Инженерная практика ставит задачу изучения этого многофак-

торного процесса в конкретных региональных условиях, а при

количественном описании процесса необходимо рассматривать в

динамике, т. е. учитывать фактор времени.

Приняв в качестве исходного уравнения деформации русла [1] и пренебрегая при этом средней концентрацией взвешенных на-носов, получаем следующее выражение:

$$\frac{\partial Z_s}{\partial t} = \frac{m_1}{1 - \varepsilon} \frac{q_s}{H} \frac{\partial H}{\partial X} \frac{\delta + 1}{\delta - 1}, \quad (1)$$

где X — продольная координата, t — время; $H = \omega/B$ — средняя глубина; ω — площадь живого сечения; B — ширина сечения по верху; Z_s — средняя высота дна; ε — коэффициент пористости донных отложений; $q_s = \frac{Q_s}{B}$ — удельный расход наносов; Q_s — объемный расход наносов; m_1 и δ — показатели степени в аппроксимирующих уравнениях $Q_s = A v^m$ и $H = B \delta v$; v — средняя скорость водного потока.

Целенаправленному интегрированию уравнения (1) с целью определения размеров русловых деформаций в расчетных секторах должны предшествовать получение и анализ функций $Q_s(t)$, $\omega(Z)$, $B(Z)$, $H(x)$. Значения H и Q_s вычисляем при наличии графика изменения расходов воды $Q(t)$ во времени в период паводка, криевых соответственных уровней в расчетных секторах и гидравлических уклонов I . Для этого необходимо провести геодезические измерения в фиксированных попеченных сечениях русла реки. С целью определения русловых деформаций были проведены геодезические измерения в фиксированных секторах на р. Быстрица в районе пт. Подбуж. Комплекс геодезических наблюдений состоял из планово-высотной привязки промерных секторов и детальных измерений по попечникам в этих секторах.

Плановая привязка обеспечила определение координат с точностью ± 5 см, высотная — ± 1 см. Отметки точек на попечных профилях по гидрологическим створам находили с помощью технического нивелирования по существующей методике [3]. Длина

поперечников не превышала 100 м, расстояние определялось с ошибкой не более ± 10 см, погрешность отметок характерных точек поперечного профиля не превышала ± 1 см. Расстояния между гидрологическими створами составляли в среднем 25...50 м, длина исследуемого участка реки — около 2 км.

Полевые измерения были проведены до и после паводка 05.07.84 г., что дало возможность оценить размеры вызванных русловых деформаций. По данным этих измерений были пост-

Таблица 1
Деформации русла р. Быстрица
по линии наибольших глубин

L_i , м	H_i^1 , м	H_i^{11} , м	$\Delta H_i = H_i^{11} - H_i^1$, м
100	96,30	95,00	-0,30
150	96,80	96,60	-0,20
200	97,40	97,50	+0,10
250	98,35	98,35	0,00
300	98,55	98,55	0,00
350	98,75	98,65	-0,10
400	98,90	98,50	-0,40
450	98,85	98,50	-0,35
500	99,15	99,10	-0,05
550	99,25	99,50	+0,25
600	99,35	99,90	+0,55
650	99,75	100,10	+0,35
700	100,70	101,75	+0,05
750	101,25	101,30	+0,05
800	101,15	101,40	+0,25
850	101,50	101,77	+0,27
900	102,30	102,30	0,00
956	102,55	102,55	0,00
1000	102,75	102,70	-0,20
1050	103,05	102,85	-0,20
1100	103,95	103,60	-0,30

Приложение. Таблица подается сокращенно, так как в начале створа деформации незначительны.

роены поперечные профили исследуемого участка реки по линии наибольших глубин. Зафиксированы значительные деформации как в продольном, так и в поперечном направлениях. Размеры деформаций приведены в табл. 1 — для продольного профиля реки, в табл. 2, 3 — по поперечным профилям для двух характерных створов, расположенных в начальной и средней части исследуемого участка реки. Значение деформации i -й точки определяем как

$$\Delta H_i = H_i^{11} - H_i^1, \quad (2)$$

где H_i^1 и H_i^{11} — отметки соответствующих точек на профиле, определенные до и после паводка.

Анализируя приведенные данные, видим, что деформации довольно значительны — до 1 м, а в среднем находятся в пределах 0,3...0,5 м, причем наблюдаются как аккумуляция, так и размыв dna реки. Из табл. 1 видно, что участки размыва и аккумуляции чередуются, образуя соответствующие русловые формы. Так, раз-

мыв в начальной части участка до 0,4 м достигает в длину 150...200 м, а в ширину — 30...35 м. В середине участка преобладает аккумуляция донных отложений с амплитудой до 0,55 м. Общая картина деформации русла реки достаточно сложная, и ее анализ требует более детальных исследований.

В практике проектирования и эксплуатации гидротехнических сооружений возникает необходимость прогнозирования руслового процесса и переформирований русла реки. При прогнозе русловых деформаций, описываемых уравнением (1), необходимо определить значения функций $\omega(Z)$ и $B(Z)$ для фиксированных поперечных сечений. Значения этих функций находят путем аппроксимации площади живого сечения соответствующей фигуры, представляющей поперечное сечение по данному створу, ограничивая его по верху при заданных Z прямой.

Расчет этих функций производится на ЭВМ ЕС-1033. По заданным дискретным значениям $Z_i = Z(Y_i)$, где Z_i — отметка точки Y_i , Y_i — поперечная координата, т. е. на расстоянии по поперечнику от исходной точки до определяемой находит значения $\omega(Z)$ и $B(Z)$. Шаг Z определяется требуемой детальностью задания функций ω и B . Вычисления проведены для ряда створов на исследуемых участках р. Быстрица, исходя из имеющихся полевых наблюдений. На рисунке приведены значения функций $\omega = \omega(Z)$ и $B = B(Z)$ для двух створов по данным табл. 2 и 3.

При ограниченных возможностях выполнения детальных полевых исследований, а также в случаях, когда необходимо учесть русловые переформирования при проектировании и эксплуатации капитальных гидротехнических сооружений, расчет средней деформации русла для гидрографа расчетного, нормативного или катастрофического паводков можно выполнить по приведенной ниже методике.

$$B(1) \text{ обозначим } \Phi_Z = \frac{R_{\text{вл}}}{H} = \frac{\gamma_{\text{н}} q_s}{H}, \quad (3)$$

где $R_{\text{вл}}$ — массовый расход влекомых наносов; $\gamma_{\text{н}}$ — уд. вес наносов.

Введем величину C_z , характеризующую скорость распространения соответствующей фазы руслового процесса.

$$C_z = \frac{m_1}{\gamma_{\text{н}}(1-s)} \Phi_Z. \quad (3)$$

Таблица 2
Деформации долины р. Быстрица

l_i , м	H_i^{11} , м	H_i^1 , м	$\Delta H_i = H_i^{11} - H_i^1$, м
0,0	104,41	104,41	0,00
2,5	103,50	103,30	+0,20
5,0	102,70	102,60	+0,10
7,5	101,10	102,10	-1,00
10,0	100,20	101,30	-1,10
12,5	100,00	99,90	+0,10
15,0	100,10	99,70	+0,40
17,5	100,30	99,70	+0,60
20,0	100,70	100,30	+0,40
22,5	100,70	100,30	+0,40
25,0	100,90	100,60	+0,30
27,5	101,00	100,90	+0,10
30,0	101,00	100,90	+0,10
32,5	101,00	100,90	+0,10
35,0	101,70	100,90	+0,10
37,5	101,30	101,00	+0,30
40,0	101,70	101,70	0,00
42,5	101,00	102,70	-0,70

Таблица 3
Деформации долины р. Быстрица

Смещение соответствующей фазы руслового процесса за период руслоформирования в интервале от t_u до t_k

$$X_\Phi = \frac{m_1}{\gamma_n(1-\varepsilon)} \frac{\delta + 1}{\delta - 1} \int_{t_u}^{t_k} \Phi_Z dt. \quad (4)$$

Средняя деформация в расчетном створе за период руслоформирования

$$\Delta Z = \frac{m_1}{\gamma_n(1-\varepsilon)} \frac{\delta + 1}{\delta - 1} \frac{\partial H}{\partial X} \int_{t_u}^{t_k} \Phi_Z dt. \quad (5)$$

Поскольку действительная закономерность распределения соответствующей фазы руслового процесса в данном створе на лежащий ниже участок неизвестна, в первом приближении принят линейный закон изменения деформации от значения ΔZ в данном расчетном створе до нуля в сечении на расстоянии X_Φ ниже по течению реки.

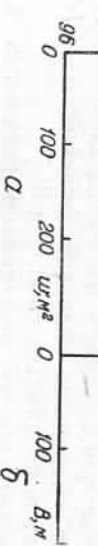
Если в каждом ха-

рактерном створе построить ординаты рас-

четных деформаций со-

ответствующих знаков и выразить влияние

руслового процесса на нижележащий участок



Зависимость площади живого сечения и ширины

водотока от высоты:

$a = a(Z)$; $\delta = B = B(Z)$. 1 — первый створ; 2 — второй створ.

Расчет деформации русла выполняется при принятом гидро-

графе паводка и установленном положении дамбы обвалования по данным предварительной оценки устойчивости русла [2].

В целом методику прогноза русловых переформирований можно применять для любой горной зоны, так как ее уравнения получены из общего дифференциального уравнения динамики русловых потоков. При этом учитывают некоторые характеристики потока, определяющие скорость и длину распространения соответствующей фазы руслового процесса. Прогноз русловых деформаций выполняют при выбранном положении дамбы обвалования. Исходными данными для расчета являются графики изменения во времени величин $Q(t)$, $\omega(t)$, $B_y(t)$, $I_y(t)$, d_{sp} при выбранном

положении дамбы обвалования. Исходной информацией служат промышленная $\partial H / \partial X$ со своим знаком и границы периода руслоформирования (t_u, t_k) , полученные при оценке устойчивости русла.

Определение средних деформаций русла в расчетном створе производится в следующем порядке: составляются временные ряды величин Φ_Z ; определяются смещения X_Φ соответствующей фазы руслового процесса за расчетный период руслоформирования; рассчитывается средняя деформация ΔZ в данном створе.

Изложена методика прогноза русловых деформаций, предусматривает проведение натурных геодезических измерений, математическая обработка и анализ которых составят основу исходной информации к расчету. Это позволит в практике проектирования регулировочных сооружений на горных реках осуществлять прогноз деформаций при ограниченном объеме полевых наблюдений.

Список литературы: 1. Каганов Я. И. Русловые переформирования при регулировании рек горно-предгорной зоны. — Львов: Ун-т техн. Изд-во при Пльзев. ун-те, 1981. — 118 с. 2. Каганов Я. И. Русловой процесс при обваловании горных рек. — В кн.: Эффективное использование пойменных земель западных районов УССР. Львов, 1983, с. 9—16. 3. Справочное руководство по инженерно-геодезическим работам / Под ред. В. Д. Большакова и Г. П. Лещенко. — М.: Недра, 1980. — 781 с.

Статья поступила в редакцию 04.01.85

УДК 622.1(031)

В. Г. ГРЕБЕНЮК, Н. И. КРАВЦОВ, М. М. ФЫС

ОПРЕДЕЛЕНИЕ ОБЪЕМОВ КАМЕР ПУСТОТ С ОДНОЙ ТОЧКИ УСТАНОВКИ ПРИБОРА

В настоящее время на подземных рудниках горнодобывающей промышленности получили широкое распространение высококонтрольные системы добычи руды с глубоких скважин, что привело к образованию недопустимых подземных пустот (очистных камер). В результате значительно изменились объем, содержание и методика маркшейдерских работ, возникла необходимость определения положения и развития выемочных пустот, состояния целиков, потолочин и т. п.

Съемка очистных камер связана с рядом трудностей, в частности ограниченностью доступа к очистному пространству; повышенной опасностью; отсутствием высокопроизводительных и достаточно точных приборов, большим объемом полевых и камеральных работ.

Недоступные подземные пустоты создаются при разработке с открытым очистным пространством руды; с обрушением.

Недоступные пустоты представляют собой в

части очистные камеры, размеры которых зависят

от геотехнических условий. В настоящее